## Potentialflächen angeregter Zustände von Ha

#### E. FRENKEL

Lehrstuhl für Theoretische Chemie der Universität Bonn

(Z. Naturforsch. 25 a, 1265-1269 [1970]; eingegangen am 12. Juni 1970)

Potential-Energy Surfaces for Excited States of Ha

Ab-initio calculations for low-lying states of H<sub>3</sub> in C<sub>2V</sub> and D<sub>∞h</sub> symmetry are reported. It is shown that the potential energy surfaces of some states dissociating to  $H_2(X, {}^1\Sigma_g{}^+)$  and H(n=2)possess deep minima in D<sub>3h</sub> symmetry. The results are used to discuss recent experiments on the reaction of H<sub>2</sub> with metastable H.

## A. Einleitung

Das molekulare System aus 3 Wasserstoffatomen ist als 3-Elektronenproblem für wellenmechanische Absolutrechnungen verhältnismäßig leicht zugänglich. H<sub>3</sub> besitzt keinen stabilen Grundzustand. Es spielt aber als aktivierter Komplex bei der Deutung des Paradebeispiels für das Studium chemischer Reaktionen – der Austauschreaktion  $H_2 + D \rightarrow HD + H$  – eine entscheidende Rolle. Für das Verständnis dieser Reaktion benötigt man Kenntnisse von der Potentialfläche des energetisch tiefsten Zustandes von H3. Nach halbempirischen Ansätzen in den frühen 30er Jahren <sup>1</sup> folgte in den letzten 10 Jahren eine Flut von Publikationen mit Absolutrechnungen, in denen besonders Lage und Energie des aktivierten Zustandes und die Form der Fläche in der Umgebung des Sattels diskutiert werden <sup>2</sup>.

Ein weiterer Punkt, der Interesse erweckte, ist die symmetriebedingte Entartung der beiden tiefsten Zustände von H3 in der Symmetrie D3h und die daraus resultierenden nichtadiabatischen Effekte 3.

Neuere experimentelle Untersuchungen haben sich mit der Reaktion von metastabilen H-Atomen (im 2s-Zustand) und Wasserstoffmolekülen befaßt 4. Die Deutung der Ergebnisse erfordert Kenntnisse von Potentialflächen des Gesamtsystems H3, die aus den Reaktionspartnern entstehen und bei der Reaktion durchlaufen werden. Erstaunlicherweise konnte in der Literatur keine Arbeit gefunden werden, in der solche angeregten Zustände von H3 theoretisch untersucht wurden.

## B. Qualitative Überlegungen

Bei den Versuchen von Comes 4b wurden metastabile H-Atome mit bekannter kinetischer Energie von maximal 0,45 eV durch Stoß mit H2-Molekülen deaktiviert. Zwei Stoßprozesse wurden gefunden: Man erhält entweder Abstrahlung der Lyman-α-Linie

$$H_2 + H(2s) \rightarrow H_2 + H(2p) \rightarrow H_2 + H + h \nu(Ly_a)$$
 (1)

oder es findet ein strahlungsloser Prozeß statt. Energetisch möglich sind hier

$$H_9 + H(2s) \rightarrow H_9 + H$$
 (2 a)

$$H_0 + H(2s) \rightarrow 3 H$$
 (2 b)

$$H_2 + H(2s) \rightarrow H_3^+ + e^-.$$
 (3)

Die Fälle 2 a und 2 b konnten experimentell nicht unterschieden werden. Die Reaktionen 1 und 2 laufen mit großen Wirkungsquerschnitten ab (50 bis 150 Å<sup>2</sup>), 3 ist nur eine schwache Nebenreaktion. Die experimentellen Ergebnisse legen es nahe, daß zwischen den adiabatischen Potentialflächen aus Anfangs- und Endprodukten der Reaktion 2 eine starke Kopplung besteht, d. h., es müssen Durchschneidungen oder vermiedene Überkreuzungen vorkommen.

Sonderdruckanforderungen an Dr. E. FRENKEL, Lehrstuhl für Theoret. Chemie der Universität Bonn, D-5300 Bonn, Wegelerstraße 12.

<sup>&</sup>lt;sup>1</sup> Zusammenstellung in S. Glasstone, H. J. Laidler u. H. EYRING, Theory of Rate Processes, McGraw-Hill, New York

a) H. Conroy u. B. Bruner, J. Chem. Phys. 47, 921 [1967]. b) I. SHAVITT, R. M. STEVENS, F. L. MINN u. M. KARPLUS, J. Chem. Phys. 48, 2700 [1968]. c) Übersicht über weitere

Arbeiten siehe A. RIERA u. J. W. LINNET, Theor. Chim.

Acta 15, 181 [1969].
a) R. Wrzesinsky, Z. Naturforsch. 23 a, 432, 466 [1968]. b) R. N. PORTER, R. M. STEVENS u. M. KARPLUS, J. Chem. Phys. 49, 5163 [1968].

a) W. A. CHUPKA, M. E. RUSSEL u. K. REFAEY, J. Chem. Phys. 48, 1518 [1968]. b) F. J. Comes u. U. Wenning, Z. Naturforsch. 24 a, 587, 1227 [1969].

1266 E. FRENKEL

Hierüber lassen sich schon mit Hilfe einfacher Symmetriebetrachtungen durch Korrelationsdiagramme zwischen dem vereinigten Atom Li und 3 getrennten H-Atomen Aussagen ableiten (Abb. 1 und 2). H<sub>2</sub> läßt sich adiabatisch in 2 H-Atome überführen. Es genügt folglich, zu zeigen, daß eine Kopplung zwi-

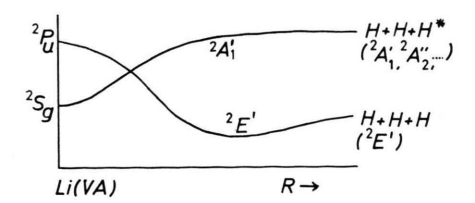


Abb. 1. Korrelationsdiagramm Li  $\longleftrightarrow$  3 H, Sym. D<sub>3h</sub>.

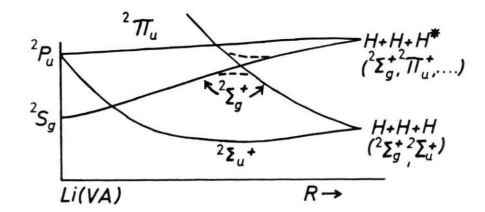


Abb. 2. Korrelationsdiagramm Li  $\longleftrightarrow$  3 H, Sym.  $D_{\infty h}$ .

schen den Potentialflächen aus 3 H und solchen aus 2 H + H(2s) besteht. Bei Annäherung in der Geometrie des gleichseitigen Dreiecks ( $D_{3h}$ ) folgt die Überkreuzung allein aus Symmetriegründen. In der linearen Anordnung  $D_{\infty h}$  muß man zusätzlich berücksichtigen, daß der  ${}^2\Sigma_u^+$ -Zustand aus 3 H-Atomen eine anziehende Potentialkurve besitzt, der  ${}^2\Sigma_g^+$  hingegen eine abstoßende  ${}^{3b}$ . Dadurch kommt es zwischen den diabatischen Kurven der Rasse  ${}^2\Sigma_g^+$  aus 3 H bzw. 2 H + H(2s) zu einer Überschneidung. Für die adiabatischen Kurven gilt natürlich die "non-crossing"-Regel, man erhält Kurven mit einer vermiedenen Überkreuzung.

## C. Rechenmethode

Für eine qualitative Analyse der Reaktionen 1-3 genügt die Kenntnis der groben Strukturen der betreffenden Potentialflächen. Entsprechend wird die Rechenmethode gewählt. Als Basis dient ein Satz von 24 Gauß-Funktionen (Tab. 1): Vier s-Funktionen an jedem Zentrum für die Beschreibung der 1sund 2s-Orbitale, je zwei p-Funktionen (kontrahiert zu einer Funktion) für die Beschreibung der 2p-Orbitale in der Molekülebene. Im Rahmen des hier ge-

wählten Ansatzes werden 2p-Funktionen senkrecht zur Molekülebene nicht benötigt. Als Exponenten der Gauß-Funktionen werden die optimierten Werte für die Orbitale des Wasserstoffatoms von Huzi-NAGA <sup>5</sup> verwendet.

```
\begin{array}{lll} s_1 = s \ (0.151374), & s_2 = s \ (0.681277), \\ s_3 = s \ (4.50038), & s_4 = s \ (0.02105), \\ 2 \ p = 0.78541 \cdot p \ (0.032392) + 0.32565 \cdot p \ (0.139276). \end{array}
```

Tab. 1. Basisfunktionen [ $s(\zeta) = 1s - GTO$ ,  $p(\zeta) = 2p - GTO$ ,  $\zeta = Orbital exponent$ ].

Die Berechnug der Energie erfolgt in 3 Schritten:

- 1. Restricted Hartree-Fock-Rechnung für den Grundzustand von  ${\rm H_3}$ , Konfiguration  $\Phi_1{}^2$   $\Phi_2$ .
- 2. Bestimmung optimierter Orbitale für die Konfigurationen  $\Phi_1^2 \Phi_i$ , i > 2,  $\Phi_i$  orthogonal zu  $\Phi_1$  und  $\Phi_2$ .  $\Phi_1$  bleibt unverändert. Die Berechnung der  $\Phi_i$  reduziert sich auf die Lösung eines Eigenwertproblems, wenn man in dem zu  $\Phi_1$  und  $\Phi_2$  orthogonalen Unterraum operiert.
- 3. Verwendung der Orbitale  $\Phi_i$ ,  $i=1,\ldots,n$  für eine beschränkte Konfigurationwechselwirkungsrechnung. Die Konfigurationen werden nach folgenden Gesichtspunkten ausgewählt: Das richtige asymptotische Verhalten der Gesamtwellenfunktion beim Zerfall in 3 H bzw.  $H_2+H$  muß gewährleistet sein, die Kopplung zwischen angeregten Zuständen mit vergleichbarer Gesamtenergie bei bestimmten Anordnungen der Wasserstoffkerne soll berücksichtigt werden. Darüber hinaus wird kein Wert auf Konfigurationen gelegt, die speziell zur Beschreibung von Korrelationseffekten bei normalen Bindungsabständen geeignet sind.

	exakt	berechnet
H (1 s)	-0.5	-0.4973
H(2s)	-0,125	-0,1242
H(2p)	-0.125	-0,1233
$ m H_2(X,^1\Sigma_g^+)$	-1,3363 8	-1,1223
R = 1.4, H. F.	_,,,,,,,,,	-,

Tab. 2. Vergleich von berechneten und exakten Energiewerten für H und  $H_2$  (in at. Einh.).

Punkte der Hyperfläche werden in der Symmetrie  $C_{2v}$  bestimmt. Speziallagen sind das gleichseitige Dreieck  $(D_{3h})$  und die symmetrisch lineare Anordnung  $(D_{\infty h})$ . Sie werden besonders berücksichtigt. Für die Berechnung der Integrale und die SCF-Rechnung wird eine abgeänderte Version von IBMOL 2 benutzt <sup>6</sup>. Inwieweit die verwendete Basis die be-

<sup>&</sup>lt;sup>5</sup> S. Huzinaga, J. Chem. Phys. 42, 1293 [1965].

trachteten Systeme zu beschreiben vermag, zeigt Tab. 2 durch Vergleich einiger berechneter Energiegrößen von H und  $H_2$  mit den exakten Werten.

#### D. Resultate

In C<sub>2v</sub>-Symmetrie bilden die 3 Wasserstoffkerne ein gleichschenkliges Dreieck. R' sei darin die Grundseite, R die Höhe. Betrachten wir zunächst den Fall R' = 1,4 bohr,  $R \gg R'$ , d. h. schwache Wechselwirkung zwischen H2 im Gleichgewichtsabstand und einem H-Atom. Der tiefste Zustand ist ein  ${}^{2}A_{1}$ -Zustand aus  $H_{2}(X, {}^{1}\Sigma_{g}^{+})$  und H(1s). Die nächsten Terme dieser Rasse entstehen aus  $H_2(X, {}^1\Sigma_g^+)$  und  $H(2s, 2p_z)$ . Das Molekülfeld von H<sub>2</sub> bewirkt in erster Näherung die Aufspaltung der in nichtrelativistischer Näherung entarteten Niveaus 2s und 2p von H, d. h. es kommt zur Hybridbildung. Das Hybrid, dessen elektronenarme Seite zum H<sub>2</sub> zeigt, liegt energetisch tiefer (Abb. 3). Darin kommt die elektronenabstoßende Wirkung der abgeschlossenen Schale von H2 zum Ausdruck. Aus diesem Zustand entwickelt sich bei Verminderung von R eine anziehende Potentialfläche. Das andere Hybrid führt dagegen zu einer abstoßenden Kurve,

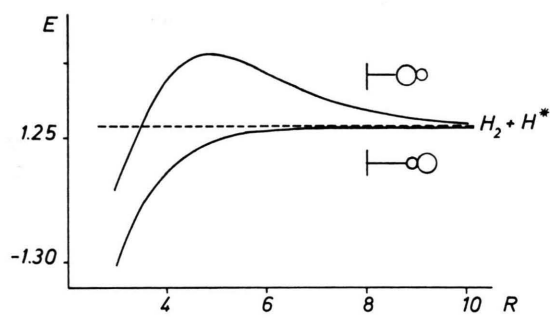


Abb. 3.  ${}^{2}A_{1}$ -Terme aus  $H_{2}+H(n=2)$ , R'=1,4.

die später ihren Charakter durch Wechselwirkung mit höheren Termen der gleichen Rasse umkehrt (z. B.  $H_2^+ + H^-$ ). Die Höhe des Buckels in der Potentialkurve beträgt ca. 0,6 eV. Die Wellenfunktionen lassen sich näherungsweise durch die Konfigurationen  $\Phi_1^2 \Phi_+$  und  $\Phi_1^2 \Phi_-$  beschreiben, wobei  $\Phi_+$  im wesentlichen Linearkombinationen von  $2s_c$ und  $2p_{zc}$  sind (Tab. 3). Der große Wert der s-Komponente für große R-Werte in  $\Phi_+$  muß kein physikalischer Effekt sein, sondern mag daher rühren, daß die verwendete Basis zu einem tieferen Energiewert für das 2s-Niveau von H führt als für das 2p-Niveau (Tab. 2). Die berechnete asymptotische Energie für die beiden Zustände ist -1,246 at. Einh. bzw. -1,245 at. Einh., die exakte Energie ist -1,2994 [ $E(H_2; X, {}^{1}\Sigma_{g}^{+}) = -1,1744, E(H, 2s)$ =-0.125] 7. Die Differenz beruht im wesentlichen auf der nicht berücksichtigten Korrelationsenergie für den Grundzustand von H<sub>2</sub> (0,041 at. Einh.) und zu einem geringeren Teil auf der mangelhaften Darstellung des SCF-Limits von H2.

Abbildung 4 zeigt die Potentialkurven entlang der Reaktionskoordinate R'(R) für das System  $H_2(X, {}^1\Sigma_g^+) + H(2s)$ . Bei festgehaltenen R wird R' so gewählt, daß E(R') (die Energie des zweiten <sup>2</sup>A<sub>1</sub>-Zustandes) ein Minimum ist. Diese Potentialfläche hat in D<sub>3h</sub>-Symmetrie ein absolutes Minimum beim Abstand R' = 1,62 bohr. Die Funktion hat dort die Rasse 2A1', sie ist also im Gegensatz zum tiefsten Zustand von H3 nicht entartet. Das Minimum hat ungefähr die gleiche Geometrie wie das von  $H_3^+$  im Grundzustand (Sym.  $D_{3h}$ , R' = 1,68bohr) 9. Bei Verringerung von R bis zur linearen Anordnung geht die Wellenfunktion dieses Zustandes in ein  ${}^2\Pi_{\rm u}$  über. Die Energie in linearer Anordnung liegt noch beträchtlich unter der asymptotischen Energie der Ausgangszustände. Einzelheiten

R	$a^+$	$b^+$	$E_{ m SCF}$	$E_{ m CI}$	<i>a</i> -	<i>b</i> -	$E_{ m SCF}$	$E_{\mathrm{CI}}$
10,0 8,0 6,0 5,0 4,0	0,884 0,832 0,840 0,864 0,916	0,466 0,533 0,541 0,504 0,397	- 1,2463 - 1,2465 - 1,2476 - 1,2501 - 1,2584	$\begin{array}{r} -1,2463 \\ -1,2465 \\ -1,2477 \\ -1,2510 \\ -1,2636 \end{array}$	0,461 0,533 0,486 0,432 0,274	$\begin{array}{c} -0,881 \\ -0,811 \\ -0,764 \\ -0,751 \\ -0,714 \end{array}$	$\begin{array}{r} -1,2451 \\ -1,2392 \\ -1,2241 \\ -1,2132 \\ -1,2183 \end{array}$	$\begin{array}{r} -1,2451 \\ -1,2393 \\ -1,2246 \\ -1,2167 \\ -1,2284 \end{array}$

Tab. 3. Analyse der Terme  ${}^2A_1$  aus  $H_2(X, {}^1\Sigma_g{}^+)$  und  $H(2s, 2p_z)$  für R'=1,4,  $R \ge 4$ .  $a_\pm = (\Phi_\pm, 2s_c)$ ,  $b_\pm = (\Phi_\pm, 2p_{zc})$ ,  $E_{scr}^\pm$  ist die Energie der 1-Det.-Funktion mit der Konfiguration  $\Phi_1{}^2\Phi_\pm$ ,  $E_{c1}^\pm$  die Energie einer beschränkten CI-Rechnung.

<sup>&</sup>lt;sup>6</sup> D. R. DAVIS u. E. CLEMENTI, IBMØL, Quantum Chem. Progr. Exchange, Program 92.

<sup>&</sup>lt;sup>7</sup> W. Kolos u. L. Wolnicwicz, J. Chem. Phys. **43**, 2429 [1965].

<sup>8</sup> W. Kolos u. C. C. J. Roothaan, Rev. Mod. Phys. 32, 219 [1960].

<sup>&</sup>lt;sup>9</sup> H. CONROY, J. Chem. Phys. 41, 1341 [1964].

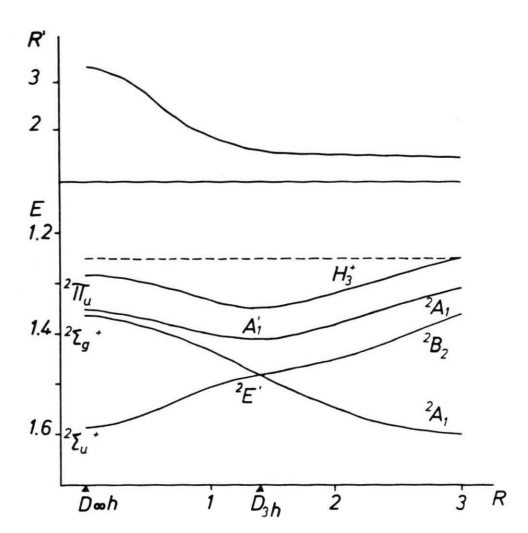


Abb. 4. Reaktionskoordinate R'(R) und Potentialkurven entlang der Reaktionskoordinate.  ${\rm H_3}^+$ -Kurve nach Conroy  $^9$ . Die punktierte Linie kennzeichnet die asymptotische Energie von  ${\rm H_2} + {\rm H\,(2s)}$ .

über die Energiewerte und geometrischen Größen entlang der Reaktionskoordinate enthält Tab. 4. Die Potentialkurve liegt stets beträchtlich unter der entsprechenden Kurve für den  ${\rm H_3}^+$ -Grundzustand. Diese Differenz würde bei genaueren Rechnungen noch zu-

R	R'	E	Sym.	Darst.
∞	1,4	-1,247	$C_{2v}$	$^2A_1$
1,40	1,62	-1,4117	$D_{3h}$	$^2\mathrm{A_1}'$
3,25	0	-1,3501	$\mathrm{D}_{\infty\mathrm{h}}$	$^2arPi_{ m u}$

Tab. 4. E(R, R') für den ersten angeregten  $^2A_1$ -Zustand von  $H_3$  entlang der Reaktionskoordinate.

nehmen, da für  ${\rm H_3}^+$  die nahezu exakten Werte von Conroy  $^9$  verwendet wurden, die hier berechneten Werte für  ${\rm H_3}$  auf Grund der verwendeten Methode jedoch um 1-2 eV zu hoch liegen.

Die Abb. 5 und 6 zeigen zwei weitere Schritte durch die Potentialhyperfläche. Diese Kurven sind mit den Korrelationsdiagrammen in Abb. 1 und Abb. 2 zu vergleichen. Die Überkreuzungen der Zustände  $^2A_1^{'}$  und  $^2E^{'}$  in der Geometrie  $D_{3h}$  findet in einem Energiebereich statt, der wesentlich über der asymptotischen Energie von  $H_2(X,^1\varSigma_g^{\,+})$  und H(2s) liegt. Allerdings kommen sich die beiden Potentialkurven im Energiebereich von -1,25 at. Einh. bereits sehr nahe (Abstand 0,3 eV). Eine enge Kopplung zwischen beiden Zuständen erscheint hier deshalb durchaus möglich. In der Symmetrie  $D_{\infty h}$  erkennt man die vermiedene Überkreuzung der beiden

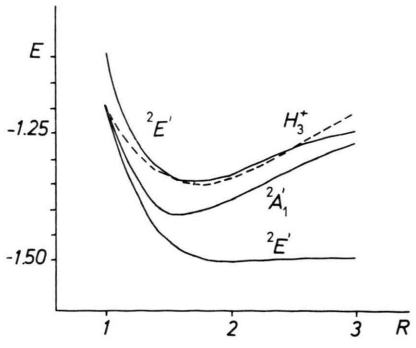


Abb. 5. Potentialkurven  $H_3$ , Sym.  $D_{3h}$   $[H_3^+$  nach Conroy  $^9]$ .

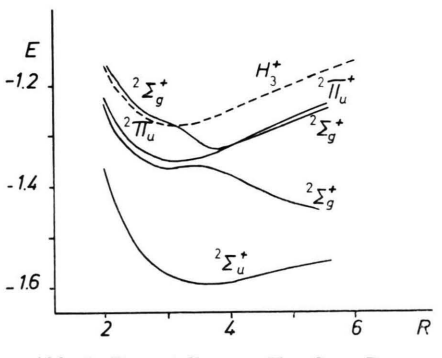


Abb. 6. Potentialkurven  $H_3$ , Sym.  $D_{\infty h}$  [ $H_3^+$  nach Conroy  $^9$ ].

 $^2\Sigma_{\rm g}{}^+$ -Kurven. In dieser Geometrie überschneiden sich folglich die Potentialkurve von  $^2\Pi_{\rm u}$  [aus  ${\rm H_2}(^1\Sigma_{\rm g}{}^+)$  und  ${\rm H(2s)}$  entlang  ${\rm C_{2v}}$ ] und die diabatische Kurve, die entweder in 3 H-Atome zerfällt (entlang  ${\rm D_{\infty h}})$  oder in  ${\rm H_2}(^1\Sigma_{\rm g}{}^+)$  und H [entlang der Reaktionskoordinate R'(R)]. In beiden Schnitten findet man im Energiebereich bis -1,25 at. Einh. einen beträchtlichen Abstand zwischen den betrachteten Flächen von  ${\rm H_3}$  ( $^2{\rm A_1}'$  bzw.  $^2\Pi_{\rm u}$ ) und der Potentialfläche von  ${\rm H_3}^+$ .

#### E. Reaktion von H<sub>2</sub> mit metastabilen H-Atomen

Die metastabilen H-Atome werden bei Annäherung in C<sub>2v</sub>-Symmetrie mit einer gewissen Wahrscheinlichkeit der oberen oder der unteren Potentialfläche folgen (Abb. 3). Der Potentialwall in der oberen Fläche ist mit 0,6 eV höher als die kinetische Energie der H-Atome in den Versuchen von Comes (max. 0,45 eV). Auf dieser Fläche kann es folglich zu keiner Reaktion kommen. Nach Verlassen des Wechselwirkungsbereichs haben die H-Atome einen

gewissen 2p-Charakter. Die obere Potentialfläche trägt damit zum Querschnitt der Reaktion 1 bei.

Teilchen auf der unteren Fläche gelangen sowohl entlang der Reaktionskoordinate (in der Sym.  $D_{\infty h}$ ) als auch bei Schwingungen senkrecht zur Reaktionskoordinate (z. B. in der Sym.  $D_{3h}$ ) in Bereiche, in denen eine nichtadiabatische Kopplung mit Zuständen möglich ist, die zu den Produkten der Reaktion 2 führen. Ein Schnitt durch die Potentialfläche senkrecht zur Reaktionskoordinate ergibt für große Werte von R ein enges Tal (bestimmt durch die Potentialkurve von  $H_2$  im Grundzustand), in der Umgebung des Minimums der Fläche eine im Vergleich dazu sehr weite Mulde (Abb. 5). Diese Form der Potentialfläche läßt vermuten, daß Teilchen mit wenig Überschußenergie in der Mulde vielfach reflek-

tiert werden, bevor sie die Mulde entlang des schmalen Eingangskanals wieder verlassen können, d. h. die Reaktion verläuft über die Bildung eines Stoßkomplexes. Bei allen Schnitten durch die Potentialfläche ergibt sich ein energetisch großer Abstand zur H<sub>3</sub><sup>+</sup>-Fläche. Eine Kopplung zwischen diesen beiden Flächen und damit eine Autoionisation (Reaktion 3) sollte deshalb mit einer viel geringeren Wahrscheinlichkeit auftreten als der Zerfall in Neutralteilchen. All diese Folgerungen stehen in Einklang mit den experimentell gefundenen Reaktionsquerschnitten.

Die numerischen Rechnungen wurden auf der IBM-7090 der GMD, Bonn, durchgeführt. — Herrn Prof. Dr. F. J. COMES danke ich für den Hinweis auf die vorliegenden Probleme, Herrn Prof. Dr. K. H. HANSEN und Herrn Dr. E. SCHWARZ für kritische Diskussionen.

# Untersuchungen über das Verhalten der chemischen Bindung im elektrischen Feld. IV.

P. DROSSBACH und P. SCHMITTINGER

Physikalisch-Chemisches und Elektrochemisches Institut der Technischen Hochschule München

(Z. Naturforsch. 25 a, 1269—1273 [1970]; eingegangen am 6. Mai 1970)

Es wurden nach dem SCF-LC(LCGO)-Verfahren die folgenden Moleküle gerechnet:  $\rm H_2$  ohne und mit elektrischem Feld, HCl, HClO, LiF ohne und mit Feld, LiCl, NaF und NaCl. Die Dichteverteilungsfunktionen der Orbitale des LiF und die Orbitalschwerpunkte aller Moleküle wurden aufgezeichnet.

Zum Abschluß unserer Untersuchungen 1 über die chemische Bindung im elektrischen Feld haben wir noch teils mit, teils ohne Feld einige Moleküle nach dem SCF-LCGO-Verfahren gerechnet, die bei unseren experimentellen elektrochemischen Arbeiten in wäßrigen Lösungen und geschmolzenen Salzen von Interesse waren. Auf Grund der früheren Arbeiten 1 konzentrierten wir unsere Aufmerksamkeit auf die Ermittlung der Dichteverteilungsfunktionen und ihre Verschiebungen, die besonders deutlich an den Änderungen der Orbitalschwerpunkte beobachtet werden können. Für unsere Zwecke erschien uns eine Genauigkeit von 93 bis 99% ausreichend, da nach unseren Erfahrungen an Vergleichsrechnungen über das Verhalten der Orbitale mit verschiedenen Ansätzen bei zunehmender Anzahl an Gauß-Funktionen mit den Eigenwerten auch die Eigenfunktionen mit hinreichender Genauigkeit erhalten werden.

Das H<sub>2</sub>-Molekül wurde mit 6 Gauß-Funktionen bei 3 verschiedenen Feldstärken parallel zur Molekülachse und einer Feldstärke senkrecht zur Achse gerechnet. Beim Abstand der H-Atome von 1,40 at. Einh. wurden die Werte der Tab. 1 erhalten.

Feldstärke	$\begin{array}{c} \text{Ges.} \\ \text{Energie} \end{array}$	Ionis. Energie	Dipol- mom.	Polarisier- barkeit
parallel				
0	-1,12177	-0.59376	0	0
0,001	-1.12178	-0.59376	-0.0067	(10)
0,01	-1,12215	-0.59381	-0.0675	(7,6)
0,20	-1,24986	-0.67642	-1,2247	6,4
senkrecht			,	*
0.01	-1,12207	-0.59244	-0.0450	6.0

Tab. 1.

Zur Berechnung beim Feld senkrecht zur Molekülachse wurde die Zahl der Gauß-Funktionen verdoppelt und flexibel oberhalb und unterhalb der Mole-

<sup>&</sup>lt;sup>1</sup> P. Drossbach u. P. Schmittinger, Z. Naturforsch. **25** a, 823, 827, 834 [1970].